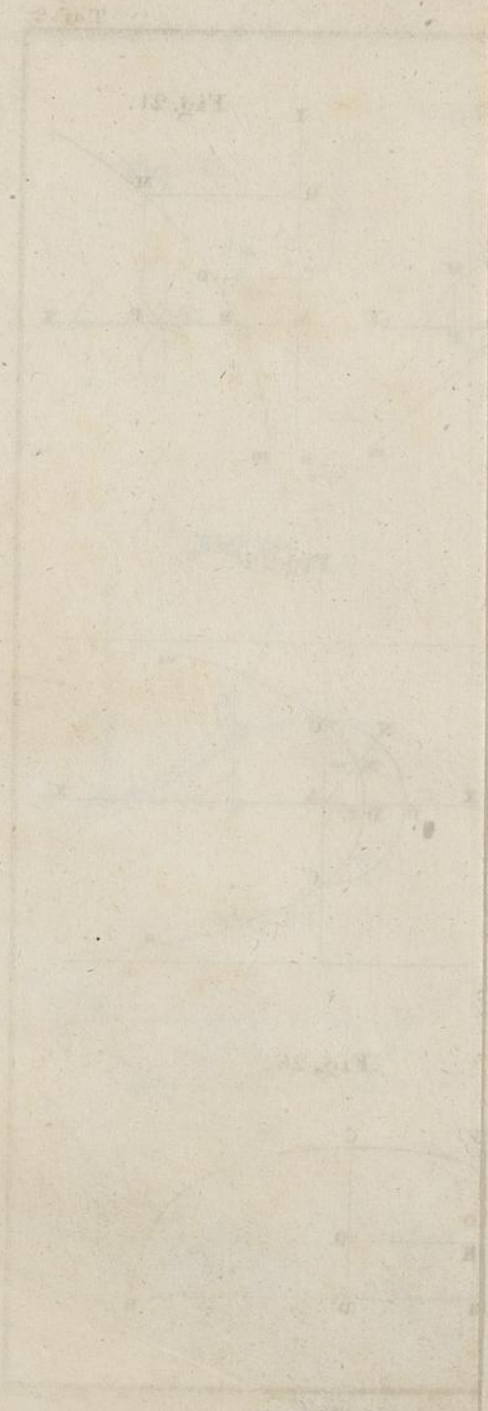
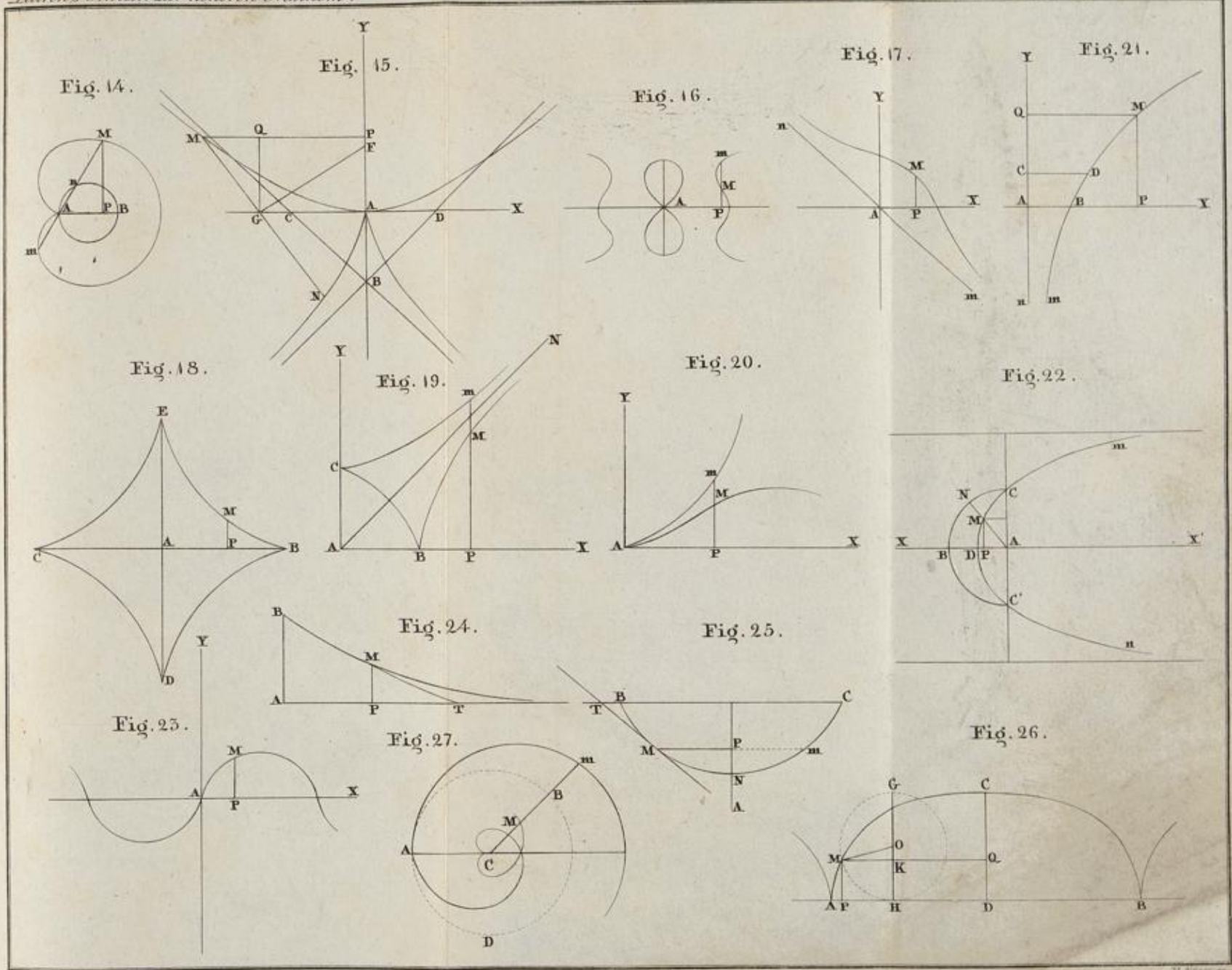
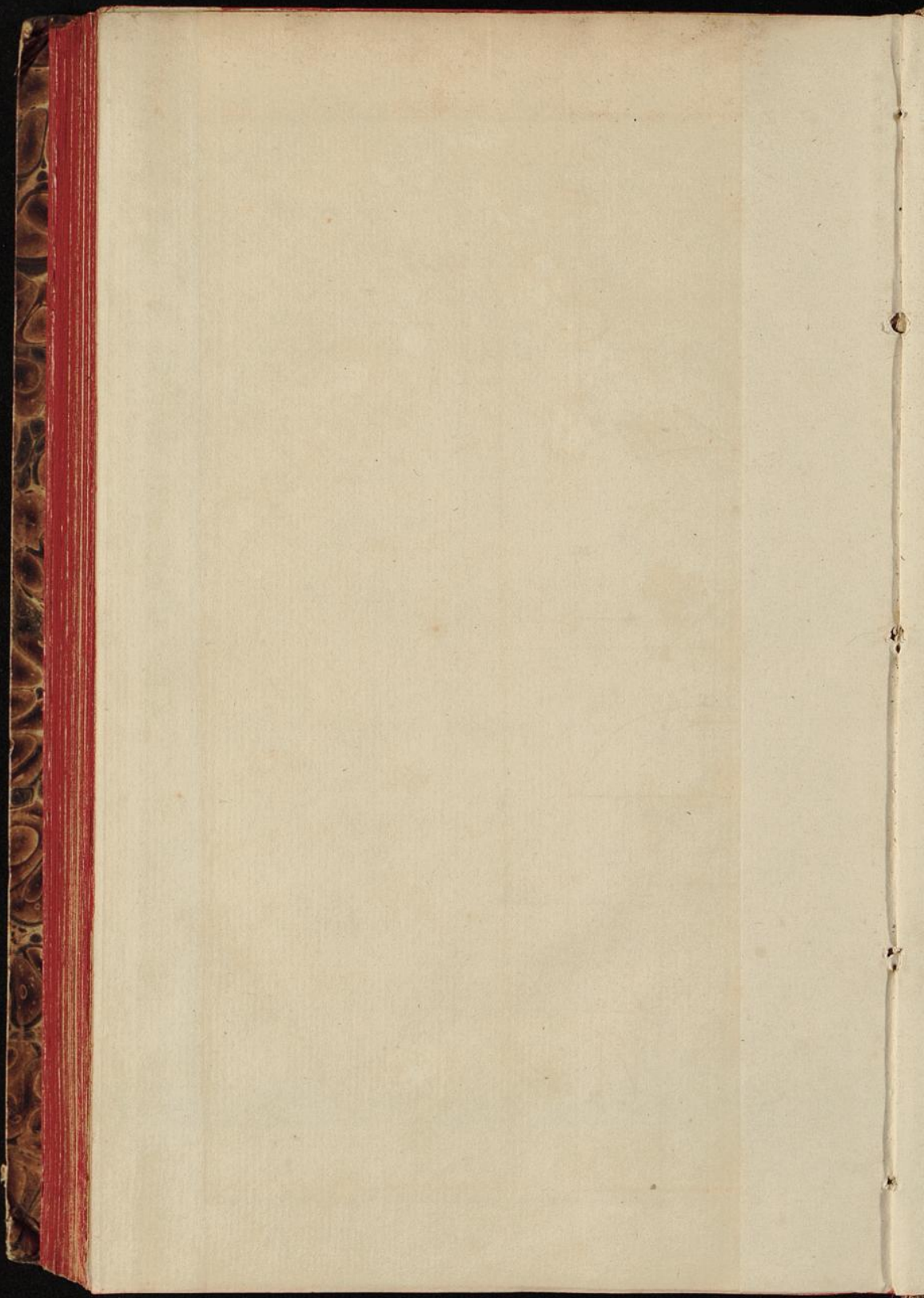


24.

7.







Fi

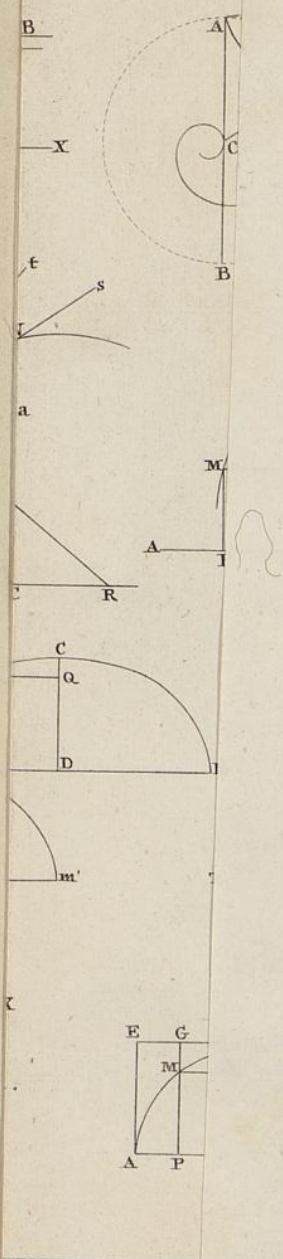


Fig. 28.

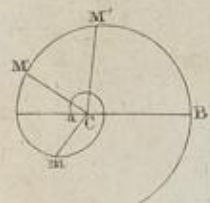


Fig. 29.

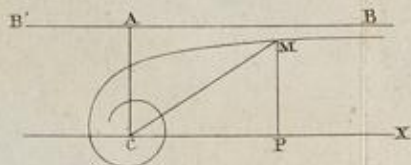


Fig. 30.

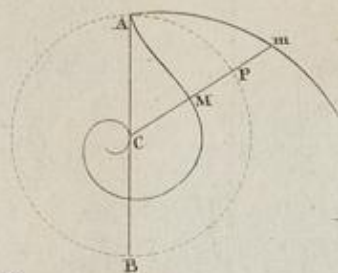


Fig. 31.

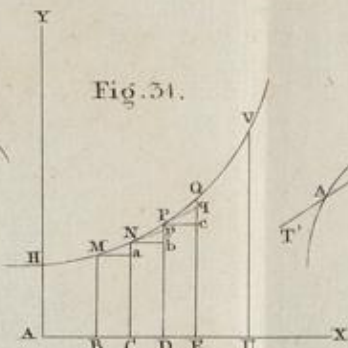


Fig. 32.

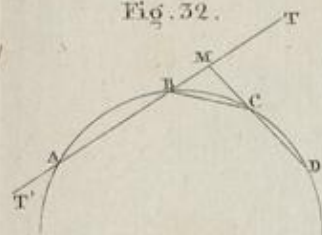


Fig. 33.

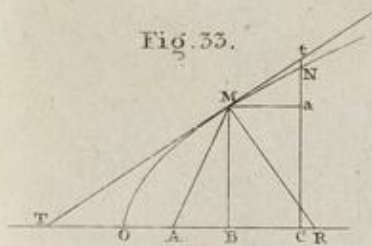


Fig. 34.

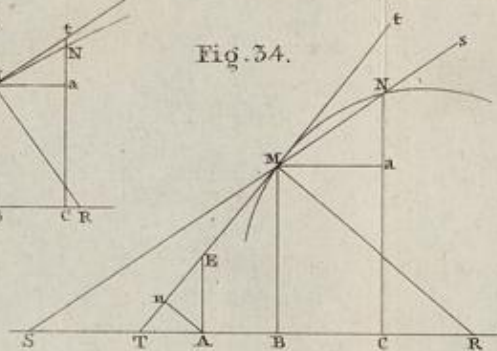


Fig. 36.

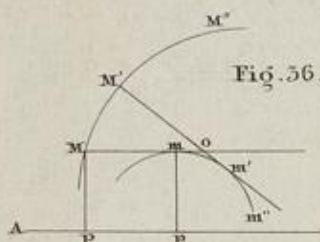


Fig. 35.

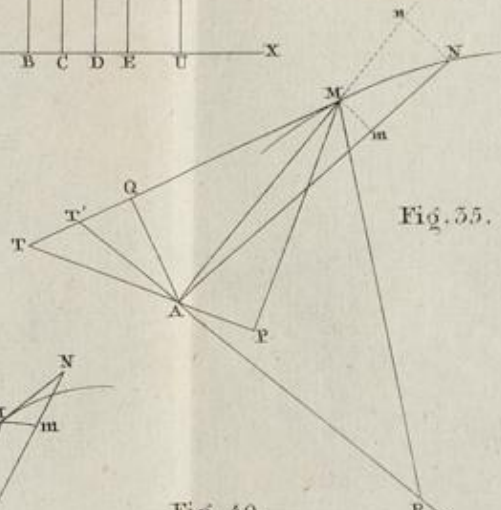


Fig. 37.

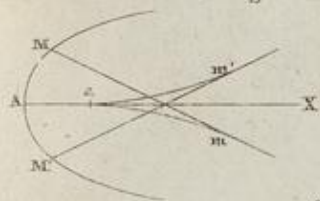


Fig. 38.

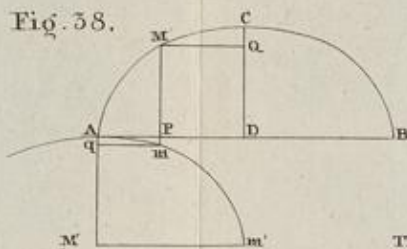


Fig. 39.

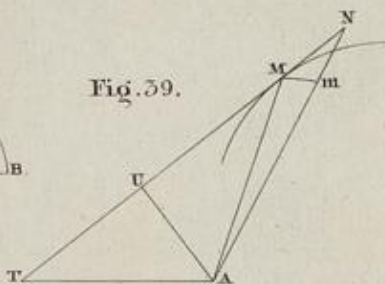


Fig. 40.

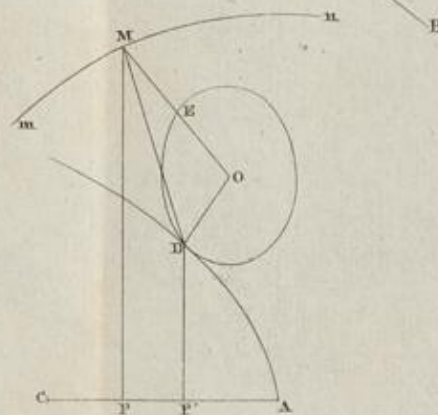


Fig. 41.

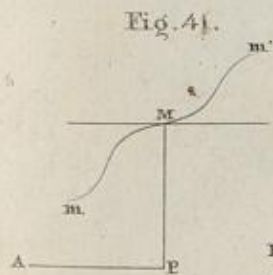


Fig. 42.

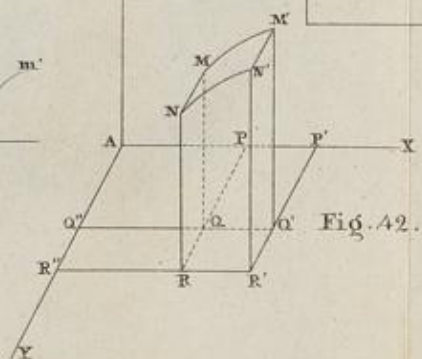
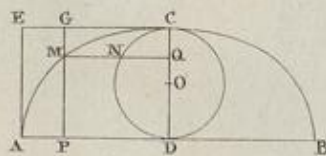


Fig. 45.



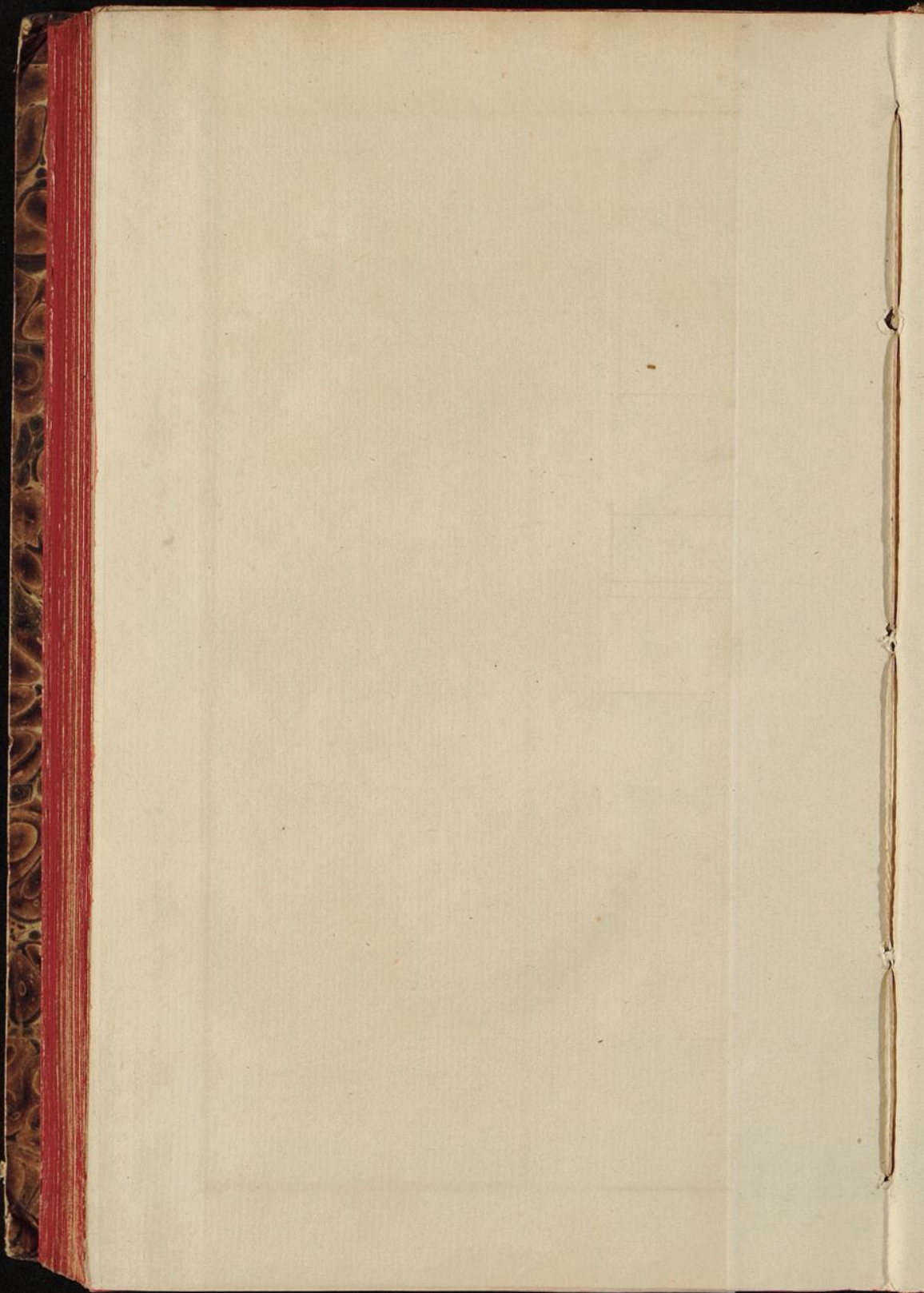
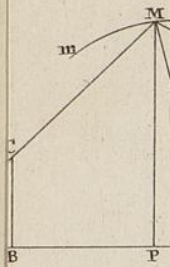
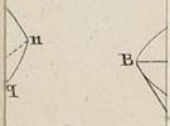
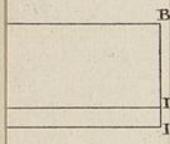




Fig.



48.



Y

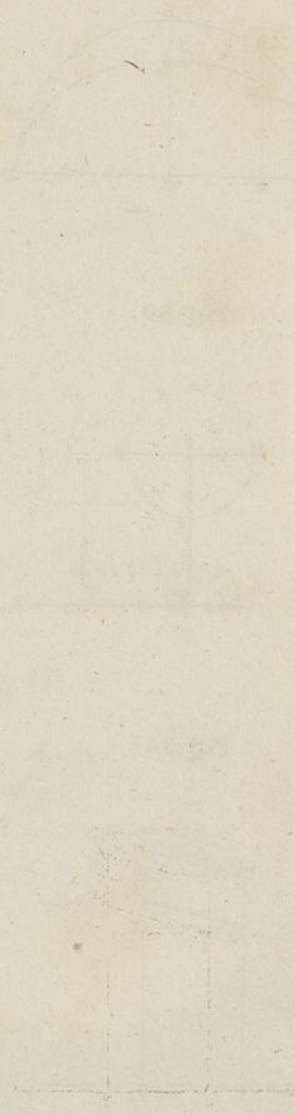


Fig. 44.

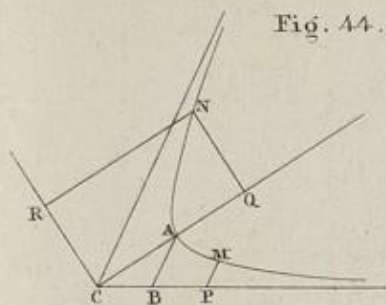


Fig. 45.

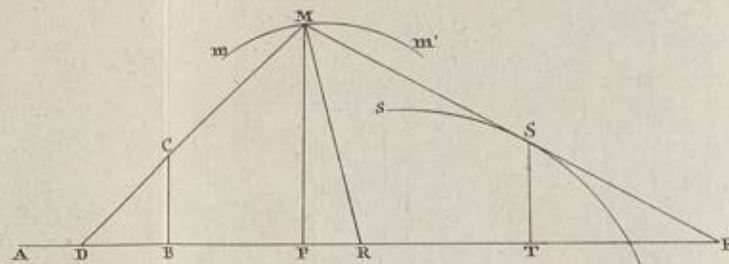


Fig. 46.

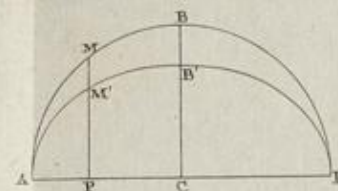


Fig. 48.



Fig. 49.

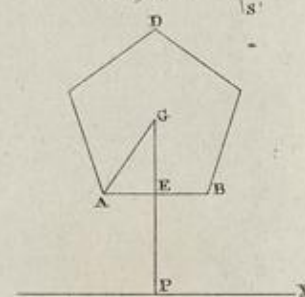


Fig. 50.

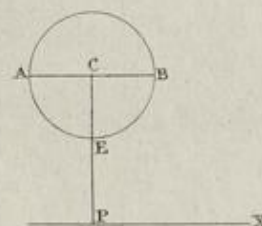


Fig. 47.

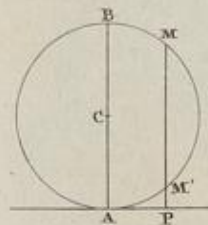


Fig. 51.



Fig. 52.

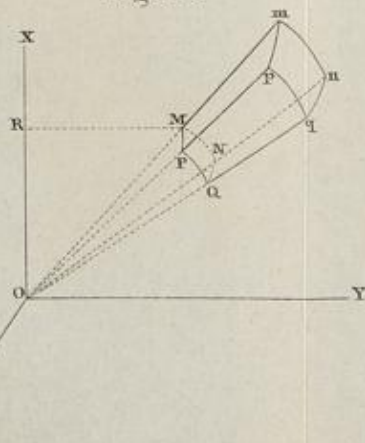


Fig. 53.

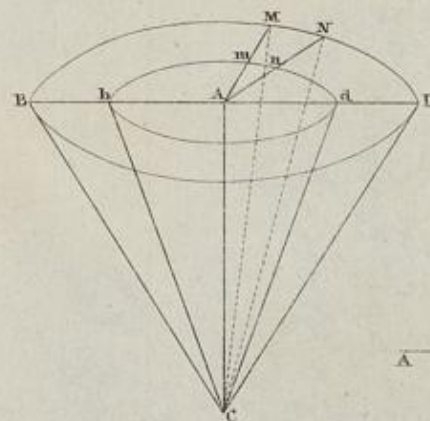


Fig. 54.

